

где ρ и j — плотность зарядов и токов, f — плотность силы, E — напряжённость электрич. поля. Поэтому поле М. п. наряду с полем E относят к числу силовых полей, допускающих прямые измерения механич. средствами.

М. п. наряду с полем E составляют компоненты единого тензора электромагнитного поля. Т. о., М. п. следует рассматривать как величину, органически связанную с вектором E . Физически это проявляется во взаимных преобразованиях полей B и E при переходе из одной инерциальной системы отсчёта в другую (см. Лоренца преобразование для полей).

Лит.: Тамм И. Е., Основы теории электричества, 9 изд., М., 1976; Ахиезер А. И., Ахиезер И. А., Электромагнетизм и электромагнитные волны, М., 1985.

И. А. Ахиезер.
МАГНИТНАЯ НЕЙТРОНОГРАФИЯ — исследование атомной магн. структуры кристаллов методами упругого когерентного рассеяния медленных нейтронов, длина волны к-рых порядка межатомных расстояний в кристалле ($\lambda \sim 10^{-5}$ мкм, см. Дифракция нейтронов). Наличие у нейтронов магн. момента приводит к тому, что наряду с рассеянием нейтрона на атомных ядрах происходит т. н. магн. рассеяние, обусловленное взаимодействием магн. момента нейтрона с магн. моментами электронных оболочек атомов.

Если магн. моменты атомов ориентированы хаотически (парамагнетик), то магн. рассеяние нейтронов имеет некогерентный, диффузный характер. Если же магн. моменты атомов имеют упорядоченную ориентацию (см. Магнитная атомная структура), магн. рассеяние является когерентным и наряду с ядерным когерентным рассеянием вносит вклад в дифракцию нейтронов. Когерентное магн. рассеяние проявляется в виде дополнит. пиков (рефлексов) или вкладов в оси. рефлексы структурной нейtronограммы, некогерентное — определяет её фон. Анализ нейtronограммы даёт прямую информацию о распределении и ориентации магн. моментов атомов в магн. кристаллах, а также об их величине.

В общем случае пики магн. и ядерного рассеяния не совпадают. Они налагаются друг на друга только в случае ферромагн. или антиферромагн. структур при совпадении магн. и кристаллографич. элементарных ячеек. По расположению магн. рефлексов определяются трансляц. векторы магн. структуры. По интенсивности рефлексов определяется взаимная ориентация атомных моментов в магн. элементарной ячейке.

Выделение магн. составляющей в случае структур, где часть магн. и ядерных отражений совпадает по углу рассеяния, а несовпадающие могут перекрываться из-за недостаточной разрешающей способности приборов, является сложной задачей. В дифракц. пике следует также выделять составляющую, вызванную либо диффузным парамагн. рассеянием, либо ближним магн. порядком в кристалле, или термодиффузным рассеянием (см. Неупругое рассеяние нейтронов). Для выделения магн. составляющей эффективно использование поляризованных нейтронов. Изменяя направление поляризации, можно с высокой точностью измерять неизвестные вклады магн. рассеяния (см. ниже).

Теоретическое описание. Дифференц. сечение когерентного упругого магн. рассеяния нейтронов, связанное с брэгговским отражением от кристалла с атомной магн. структурой, определяется в интервале телесного угла Ω выражением:

$$\frac{d\sigma}{d\Omega} = q^2 S^2 r^2 \mu_n^2 f^2. \quad (1)$$

Здесь S — спин рассеивающего атома (в сд. \hbar), связанный с его магн. моментом μ соотношением $\mu = -2\sqrt{S(S+1)}$, μ_n — магн. момент нейтрона (в ядерных магнетонах), $r = e/m_e c^2 = 2,8 \cdot 10^{-13}$ см — т. н. классич. радиус электрона (m_e — масса электрона, e — его заряд), f — магн. формфактор, учитывающий фазовые сдвиги нейтронных волн, рассеянных разл. элементами объёма атома. Он аналогичен атомному фактору для

рассеяния рентгеновских лучей, но с увеличением $\sin \theta/\lambda$ (θ — угол рассеяния) уменьшается быстрее, т. к. электроны, определяющие магн. момент атома, расположены на внеш. оболочках атома (рис. 1). Вектор $q = e(\epsilon\mu) - \mu$, наз. вектором магн. в зоне действия и, определяет взаимную ориентацию нормали e к отражающей плоскости и магн. момента атома μ (рис. 2). Величина $p = \mu_n S f$ наз. амплитудой магн. рассеяния нейтронов и является

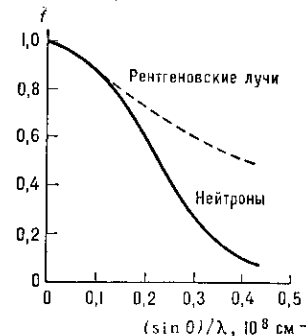


Рис. 2. Соотношение между единичными векторами нормали e к отражающей плоскости, магнитного момента μ и спина x падающего на кристалл пучка поляризованных нейтронов.

Рис. 1. Зависимость магнитного формфактора f от $\sin \theta/\lambda$ и атомного фактора рассеяния рентгеновских лучей (пунктир) для иона Mn^{2+} .

аналогом амплитуды b ядерного рассеяния нейтронов (см. Нейtronография структурная). Для θ , близких к 0° ($\sin \theta/\lambda$ мало), величины p и b сравнимы по величине. Напр., для железа $b=0,96$; $p_{Fe^{2+}}=1,08$ и $p_{Fe^{3+}}=1,35 (\times 10^{-12} \text{ см})$

$$\frac{d\sigma}{d\Omega} = q^2 p^2. \quad (1)$$

При вычислении суммарного сечения ядерного и магн. рассеяний нейтронов следует учитывать их возможную интерференцию. В случае поляризованных нейтронов с единичным вектором поляризации x дифференц. сечение имеет вид:

$$\frac{d\sigma}{d\Omega} = b^2 + 2p(qx) + p^2 q^2. \quad (2)$$

В зависимости от направления x и q амплитуды ядерного и магн. рассеяний будут либо складываться, либо вычитаться:

$$\frac{d\sigma}{d\Omega} = (b \pm pq)^2. \quad (3)$$

Если падающий пучок не поляризован, то ср. значение $\langle qx \rangle = 0$ и $d\sigma/d\Omega = b^2 + p^2 q^2$. Для поляризации нейтронов соответствующей $qx = \pm 1$, $d\sigma/d\Omega = b \pm pq$. Это даёт возможность получения пучка поляризованных нейтронов. Для этого нужно подобрать отражение от кристалла — монохроматора с такими b и p , что при нек-ром значении θ либо $b+p$, либо $b-p$ станут близки к 0. В этом случае отражённый пучок нейтронов будет почти полностью поляризованным. Это выполняется, напр., при отражении от плоскости (220) монокристалла Fe_3O_4 или от плоскостей (111) и (220) сплава $Co_{0,92}Fe_{0,08}$ с кубич. структурой.

Интенсивность магн. брэгговского отражения кристаллографич. плоскостью с индексами h, k, l пропорциональна квадрату т. н. магн. структурного фактора F , учитывающего фазовые соотношения между рассеивающими атомами в магн. элементарной ячейке, содержащей v атомов:

$$F = \sum_v p_v q \exp [-2\pi i (hx_v + ky_v + lz_v)] \quad (4)$$

(v — индекс суммирования).

В приведённом теоретич. описании рассмотрен коллинеарный магнетик, для к-рого магн. и кристаллич. элементарные ячейки совпадают, а магн. моменты ато-